

УДК 535.361

© 1992

ОСОБЕННОСТИ ГИПЕРРЕЛЕЕВСКОГО РАССЕЯНИЯ СВЕТА В СЛАБОПОЛЯРНОМ СЕГНЕТОЭЛЕКТРИКЕ $\text{Li}_2\text{Ge}_7\text{O}_{15}$

B. H. Моисеенко, B. H. Шарайчук, M. D. Волнянский

Проведены исследования температурной зависимости интенсивности гиперрелеевского рассеяния света (ГРР) в полидоменных кристаллах $\text{Li}_2\text{Ge}_7\text{O}_{15}$. Получены данные о температурной зависимости доменной структуры в чистых и легированных ионами кристаллах Si и Na. При исследовании 90° ГРР обнаружены аномальные максимумы интенсивности при $T = 173$ К и $T = T_c$, которые связываются с особенностями сегнетоэлектрического перехода. Резкий λ -образный максимум гиперполаесценции в геометрии b (cc) а при T_c интерпретирован как результат критического проведения центрального пика.

Кристаллы гептагерманата лития (ГГЛ) $\text{Li}_2\text{Ge}_7\text{O}_{15}$ по совокупности сегнетоэлектрических свойств относятся к слабополярным сегнетоэлектрикам [1, 2]. Они испытывают собственный сегнетоэлектрический переход второго рода типа смещения $C_{2v}^5 \leftrightarrow D_{2h}^{14}$ при $T_c = 283.5$ К, который характеризуется слабой диэлектрической аномалией, малым значением константы Кюри—Вейсса ($C_{\text{К}-\text{В}} = 4.6$ К), выполнимостью закона Кюри—Вейсса лишь в ближайшей окрестности T_c ($\Delta T_{\text{К}-\text{В}} = 3.5$ К), малой величиной спонтанной поляризации ($P_s = 3 \cdot 10^{-8}$ Кл/см²). Для сравнения: соответствующие величины в одноосном сегнетоэлектрике германате свинца $\text{Pb}_5\text{Ge}_3\text{O}_{11}$ составляют: $C_{\text{К}-\text{В}} = 1.2 \cdot 10^4$ К, $\Delta T_{\text{К}-\text{В}} = 10$ К, $P_s = 4.6 \cdot 10^{-6}$ Кл/см² [3]. Природа сегнетоэлектрических свойств слабополярных сегнетоэлектриков связывается с аномально малым эффектным зарядом мягкой моды [4, 5]. Следствием последнего обстоятельства является слабое диполь—дипольное взаимодействие, которое существенно только в ближайшей окрестности T_c [5]. Поэтому следует ожидать значительного проявления флуктуационных эффектов в аномалиях физических свойств кристалла в окрестности сегнетоэлектрического перехода [6, 7]. Особый интерес представляет доменная структура ГГЛ и ее поведение в окрестности T_c , которая к настоящему времени практически не изучена. Имеются лишь косвенные сведения о проявлении 180-градусной доменной структуры в экспериментах по гиперрелеевскому рассеянию света (ГРР) [8].

Настоящая работа посвящена экспериментальным исследованиям сегнетоэлектрического перехода в ГГЛ с целью выявления закономерностей в поведении доменной структуры, характере размягчения кристаллической решетки в чистых и легированных кристаллах.

Новые возможности для решения поставленной задачи открывают исследования по рассеянию света с удвоением частоты возбуждающего излучения вследствие высокой чувствительности нелинейной диэлектрической восприимчивости на оптических частотах χ_{ijk} к пространственным неоднородностям кристалла, к динамике решетки.

Кристаллы $\text{Li}_2\text{Ge}_7\text{O}_{15}$ хорошего оптического качества были выращены методом Чохральского. Легированные кристаллы содержали 0.6 ат% Si ($T_c = 279$ К) и

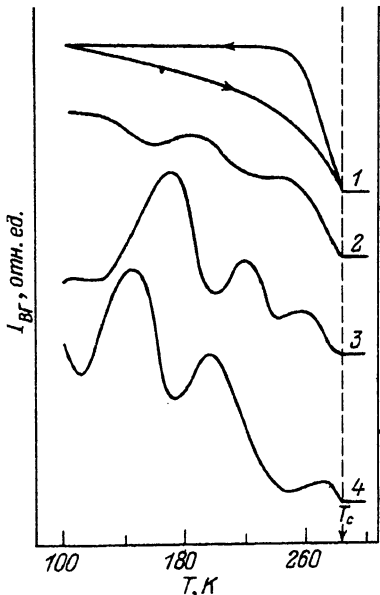


Рис. 1. Температурные зависимости интенсивности гиперрелеевского рассеяния света на малые углы при циклировании через фазовый переход в чистых (1, 2) и легированных Si (3) и Na (4) кристаллах $\text{Li}_2\text{Ge}_7\text{O}_{15}$.

Циклы: 1 — первый, 2 — второй, 3 — третий, 4 — первый.

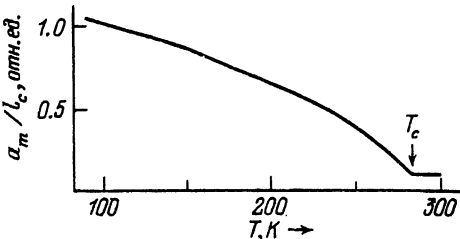


Рис. 2. Температурная зависимость наиболее вероятного размера доменов (a_m) в номинально чистых кристаллах $\text{Li}_2\text{Ge}_7\text{O}_{15}$.

l_c — длина когерентности.

10 ат% Na ($T_c = 281$ К). Образцы представляли собой параллелепипеды, грани которых были перпендикулярны кристаллографическим осям группы D_{2h}^{14} (а || [100], б || [010], с || [001]). Все исследования проводились на полидоменных образцах.

Возбуждение ГРР осуществлялось излучением YAG : Nd³⁺-лазера с длиной волны $\lambda_1 = 1.06$ мкм, работающего в режиме модуляции добротности, средней мощностью 5 Вт, длительностью импульсов генерации 10^{-6} — 10^{-7} с и частотой их следования 8 кГц.

Лазерное излучение направлялось

на образец перпендикулярно оси С (С || Р_s), расположенной вертикально. Для очистки исследуемой области спектра от линий газового разряда перед образцом устанавливался светофильтр КС-19. Излучение, рассеянное на частоте второй оптической гармоники (ВГ) ($\lambda_2 = 532$ нм), после светофильтра ЗС-8 и конденсора попадало на фотокатод ФЭУ-79, который располагался на алидаде гониометра ГС-5. Регистрация полезного сигнала осуществлялась в режиме счета фотонов с накоплением одноканальным анализатором УНО 4096-90. Использовались схемы регистрации рассеянного излучения «на просвет» и «на 90°». Все измерения проводились в криостате с кварцевыми окнами в диапазоне температур 100—300 К. Скорость линейной развертки по температуре составляла ~1 К/мин. Температура контролировалась хромель-копелевой термопарой с точностью ~0.1 К.

Во всех случаях в геометрии «на просвет» $b(cc)b$ при $T = 100$ К (в сегнетофазе) на экране, расположенном перпендикулярно направлению распространения возбуждающего излучения, наблюдалась узкая сплошная полоса рассеянного света на частоте ВГ в плоскости, перпендикулярной Р_s. Интенсивность рассеянного излучения, обусловленная компонентами тензора нелинейной диэлектрической восприимчивости χ_{zzz} и χ_{xxx} , зависела от наличия и типа примеси и была максимальной в номинально чистых образцах ГГЛ. Установлено, что указанная полоса возникает благодаря ГРР на 180-градусной доменной структуре. Сплошной характер полосы свидетельствует о нерегулярном расположении доменов и о схожести доменных структур кристаллов $\text{Li}_2\text{Ge}_7\text{O}_{15}$ и $\text{Pb}_5\text{Ge}_3\text{O}_{11}$ [9]. Температурные зависимости ГРР ($I_{\text{ГРР}}$) «на малые углы», обусловленные компонентой χ_{zzz} , представлены на рис. 1. Для чистых образцов наблюдался заметный температурный гистерезис, который исчезал после 2—3 циклов через фазовый

переход. После исчезновения гистерезиса на температурной зависимости $I_{\text{ГРР}}$ появлялись характерные осцилляции, свидетельствующие об увеличении степени монодоменности образца с ростом числа циклов через фазовый переход. В легированных кристаллах гистерезис был выражен значительно слабее, осцилляции $I_{\text{ГРР}}$ имели место уже при первом цикле. Анализ температурных зависимостей интенсивности ВГ в номинально чистых кристаллах по методике [10] позволил выделить доменный вклад в ГРР и определить температурную зависимость среднестатистической толщины доменов (a_m), которая представлена на рис. 2.

Исследования температурной зависимости интегральной интенсивности ГРР в 90° геометрии $b(cc)a$ в сегнетофазе позволили выявить ряд дополнительных особенностей (рис. 3).

1. При $T = 173$ К наблюдался широкий максимум интенсивности ГРР, имеющий дополнительную тонкую структуру.

2. При $T = T_c$ наблюдался резкий максимум интенсивности ГРР λ -образной формы с резким нарастанием интенсивности при $T \rightarrow T_c^-$ и более плавным при $T \rightarrow T_c^+$. Величина и положение пика неизначительно изменялись в зависимости от направления изменения температуры.

Наблюдаемый характер температурной зависимости можно объяснить следующим образом. Вклад в ГРР в сегнетофазе дают две составляющие.

1. Статистическая составляющая обусловлена свойствами неподвижной решетки. Ее температурная зависимость определяется температурной зависимостью компонент тензора нелинейной диэлектрической восприимчивости [11, 12].

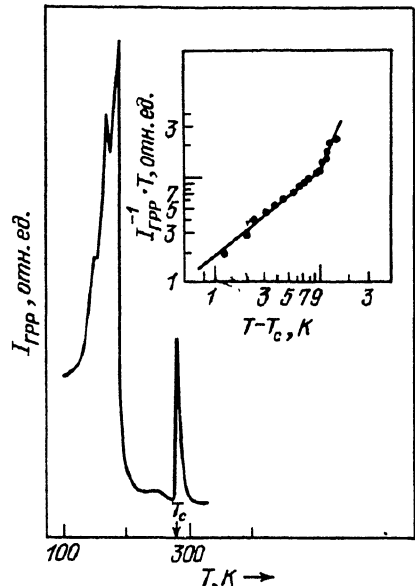


Рис. 3. Температурная зависимость 90° ГРР в кристаллах $\text{Li}_2\text{Ge}_7\text{O}_{15}:\text{Si}$ ($T_c = 279$ К).

Величина и положение пика неизначительно изменялись в зависимости от направления изменения температуры.

Наблюдаемый характер температурной зависимости можно объяснить следующим образом. Вклад в ГРР в сегнетофазе дают две составляющие.

1. Статистическая составляющая обусловлена свойствами неподвижной решетки. Ее температурная зависимость определяется температурной зависимостью компонент тензора нелинейной диэлектрической восприимчивости [11, 12].

$$I_{\text{ГРР}} \sim \langle \chi_{zzz} \rangle^2 \sim \langle \hat{P}_s \rangle^2 \sim \frac{a}{2B} (T_c - T)^\beta, \quad T < T_c, \quad (1)$$

температурной зависимостью доменного вклада (в полидоменных кристаллах) $A(T)$ [10] и температурной зависимостью показателей преломления на частоте возбуждающего излучения (n_1) и ВГ (n_2) соответственно:

$$I_{\text{ВГ}} \sim \frac{\left[\sin \frac{2\pi}{\lambda_1} (n_2 - n_1) d \right]^2}{(n_2 + n_1)^2 (n_2 - n_1)^2}, \quad (2)$$

где a и B – коэффициенты в разложении плотности термодинамического потенциала по степеням параметра порядка, d – толщина кристалла в направлении возбуждения. Вблизи T_c дополнительный вклад в ГРР дадут статические флуктуации параметра порядка. Интенсивность аномального ГРР определяется выражением [11, 12]

$$\Delta I_{\text{ГРР}} \sim \langle \chi_{zzz}^2 \rangle \sim \langle P_s^2 \rangle = \begin{cases} \frac{k_B}{2a} \frac{T}{(T - T_c)^\gamma}, & T > T_c, \\ \frac{k_B}{4a} \frac{T}{(T_c - T)^\gamma}, & T < T_c. \end{cases} \quad (3)$$

2. Динамическая составляющая отражает температурное поведение динамического центрального пика, наблюдаемого в ряде сегнетоэлектриков в линейном рассеянии света и рассеянии нейронов в окрестности T_c [11]. Последний может быть обусловлен как одной мягкой модой, так может иметь и более сложную природу, описываемую, в частности, с помощью частотно-зависимого коэффициента затухания. Обычно вблизи T_c интенсивность центрального пика увеличивается, а ширина уменьшается в соответствии с критическим замедлением динамических флуктуаций. Характер температурной зависимости динамической составляющей в ГРР при $T \rightarrow T_c^+$ определяется спектральной интенсивностью гиперкомбинационного рассеяния (ГКР) на мягкой моде при $\omega = 0$ [13]

$$I_{\text{ГКР}}(\omega, T) = K [n(\omega, T) + 1] \frac{\omega \Gamma}{[\omega_0^2 - \omega^2]^2 + \Gamma^2 \omega^2} \sim \frac{1}{\omega_0^4}, \quad (4)$$

где $K = \text{Const}$, $n(\omega, T)$ — фактор Бозе—Эйнштейна, $\omega_0^2 = a(T - T_c)^\gamma$ — квадрат частоты мягкой моды.

В отличие от геометрии «на просвет», в которой доминирует упругое рассеяние на доменах с характерной диаграммой направленности «вперед», в 90-градусной геометрии его доля заметно меньше, что позволяет выделить как зависимость $I_{\text{ГРР}}^2 \sim \langle P_s \rangle^2$, так и флуктуационную составляющую. Широкий максимум интенсивности ГРР при $T = 173$ К возможно связан с зависимостью $P_s^2(T)$, отражающей специфику слабополярного сегнетоэлектрика [5].

С целью выяснения статистической или динамической природы наблюдаемой гиперпалесценции строилась зависимость $(I_{\text{ГРР}}^{-1} \cdot T)$ от $(T - T_d)$ в логарифмических координатах со стороны парафазы ($T \rightarrow T_c^+$) (рис. 3, вставка). Оказалось, что указанная зависимость имеет линейный характер и определяется двумя наклонами: для $T > 290.6$ К $I_{\text{ГРР}} \sim T / (T - T_d)^{1.8}$, для $T < 290.6$ К $I_{\text{ГРР}} \sim T / (T - T_d)^{0.9}$. С учетом (3) и (4) можно с хорошей точностью оценить величину $\gamma = 1$. Наблюдаемый характер температурной зависимости $I_{\text{ГРР}}$ при $T \rightarrow T_c^+$ свидетельствует о динамическом вкладе в аномальное рассеяние для $T > 290.6$ К. Для $T < 290.6$ К в соответствии с (3) гиперпалесценция обусловлена статическими флуктуациями параметра порядка. Полученный результат хорошо коррелирует с данными работы [12] по исследованию гиперкомбинационного рассеяния света в кристаллах $\text{Li}_2\text{Ge}_7\text{O}_{15}$.

Таким образом, экспериментально установлены основные закономерности температурной зависимости интегральной интенсивности ГРР, отражающие особенности сегнетоэлектрического перехода в полидоменных кристаллах $\text{Li}_2\text{Ge}_7\text{O}_{15}$. Получено, что введение примесей даже в небольших количествах (~0.6 ат% Si, $T_c = 279$ К) влияет на характер доменной структуры, характеристики фазового перехода. В окрестности T_c обнаружена критическая гиперпалесценция, которая удовлетворительно описывается в рамках флуктуационной теории Ландау.

Список литературы

- [1] Wada M., Sawada A., Ishibashi Y. // J. Phys. Soc. Jpn., 1981. V. 50. N 6. P. 1811—1812.
- [2] Wada M., Ishibashi Y. // I. Phys. Soc. Jpn. 1983. V. 52. N 1. P. 193—199.
- [3] Буш А. А., Веневцев Ю. Н. // Обзор информ. сер. Научно-технические прогнозы в обл. физ.-хим. исслед. М.: НИИТЭХИМ, 1981. 69 с.

- [4] Смолянский Г. А., Синий И. Г., Таганцев А. К., Прохорова С. Д., Миквабия В. Д., Виндш В. // ЖЭТФ. 1985. Т. 88. С. 1020—1028.
- [5] Таганцев А. К., Синий И. Г., Прохорова С. Д. // Изв. АН СССР, сер. физ. 1987. Т. 51. № 12. С. 2082—2089.
- [6] Струков Б. А., Кожевников М. Ю., Соркин Е. Л., Волнянский М. Д. // ФТГ. 1990. Т. 32. № 9. С. 2823—2825.
- [7] Синий И. Г., Федосеев А. И., Волнянский М. Д. // ФТГ. 1990. Т. 32. № 10. С. 3130—3132.
- [8] Моисеенко В. Н., Пастухов В. И., Петерс И. И., Шарайчук В. Н. // Изв. АН СССР, сер. физ. 1991. Т. 55. № 5. С. 619—622.
- [9] Моисеенко В. Н., Петерс И. И., Линник В. Г., Клименко В. В. // ФТГ. 1990. Т. 32. № 8. С. 2377—2380.
- [10] Vogt H., Happ H., Häfele // Phys. Stat Sol. (A) 1970. V. 1. P. 439—450.
- [11] Рассеяние света вблизи точек фазовых переходов / Под ред. Г. З. Камминза и А. П. Леванюка. М.: Наука, 1990. 416 с.
- [12] Morioka Y., Wada M., Sawada A. // J. Phys. Soc. Jpn. 1988. V. 57. N 9. P. 3198—3202.
- [13] Prusseit-Elfroth W., Schwabl F. // Appl. Phys. 1990. V. A51. P. 361—368.

Днепропетровский
государственный университет

Поступило в Редакцию
7 августа 1991 г.